

# اثر مقاومت کششی با احتساب اثر اندازه و سرعت بارگذاری در طراحی بهینه‌ی سدهای بتني قوسی

شیرین جعفری (کارشناس ارشد)

محمد تقی احمدی<sup>\*</sup> (استاد)

دانشکده‌ی هندسی عمران و محیط‌زیست، دانشگاه تربیت مدرس

یکی از پارامترهای مهم در طراحی سدهای بتني، مقاومت کششی بتن حجم غیرمسلح است. معمولاً با افزایش اندازه نمونه بتن، مقاومت آن کاهش می‌یابد و این موضوع در مقاطع بسیار بزرگ سدهای بتني نسبت به مقادیر آزمایشگاهی، نمود بیشتری پیدا می‌کند. در پژوهش حاضر، اثر اندازه مقطع در طراحی سدهای بتني، با استفاده از رابطه مقاومت پیشنهادی دانگار (براساس رابطه اثر اندازه با زانت) اعمال شد. جهت طراحی‌ها سد، از برنامه‌ی بهینه‌سازی شکل سدهای قوسی CADSO به همراه ارتقاء الگوریتم طراحی آن به منظور اعمال رابطه مقاومت مذکور استفاده و نتایج حاصل با طراحی‌ها مبتنی بر مقاومت کلاسیک و نیز رابطه مقاومت رفائل مقایسه شد. مطالعات بر روی سدهای بزرگ نشان می‌دهد طراحی سد با درنظر گرفتن اثر اندازه مقطع، موجب افزایش ضخامت مقاطع بهویژه در نواحی تمرکز تنش کششی در نزدیکی پی، افزایش حجم و تغییر الگوی شکل بهینه‌ی رویه‌ی سد می‌شود.

shirin.jafari.23@gmail.com  
mahmadi@modares.ac.ir

واژگان کلیدی: اثر اندازه مقطع، اثر سرعت بارگذاری، مقاومت کششی بتن، بهینه‌سازی شکل سد بتني.

## ۱. مقدمه

متعدد و تحلیل ابعادی برای سازه‌های مشابه هندسی در اندازه‌های متفاوت با درنظر گرفتن ترک اولیه، اثر اندازه مقطع در مقاومت بتن را بر مبنای مکانیک شکست غیرخطی نشان داد. اثر اندازه مکانیک شکست ناشی از آزاد شدن انرژی ذخیره شده در سازه در هنگام شکست است.<sup>[۱]</sup> قانون اثر اندازه بازانت SEL<sup>۲</sup> به صورت رابطه‌ی ۱ ارائه شده است:<sup>[۲]</sup>

$$\sigma_N(d) = \frac{B f'_t}{(1 + \frac{d}{\lambda \cdot d_a})^{1/2}} \quad (1)$$

که در آن،  $\sigma_N$  تنش (مقاومت) اسمی مقطع،  $d$  اندازه مقطع،  $f'_t$  مقاومت کششی مستقیم نمونه،  $d_a$  اندازه بزرگ ترین سنگدانه،  $B$  و  $\lambda$  پارامترهای ثابت معادله هستند. برخی پژوهشگران در سال ۱۹۹۰<sup>[۳]</sup> قانون اثر اندازه اصلاح شده‌ی MSEL را به صورت تجربی و به‌وسیله‌ی تحلیل‌های رگرسیون روی داده‌های آزمایشی موجود برای سازه‌های بزرگ بدون شکاف ثابت و مستقل از اندازه می‌شود (رابطه‌ی ۲).<sup>[۴]</sup> اوابل دهه‌ی ۱۹۸۰ میلادی، برای نخستین بار بازانت<sup>۲</sup> براساس آزمایش‌های

یکی از مهم‌ترین مؤلفه‌ها در طراحی سد بتني، مقاومت کششی بتن حجم غیرمسلح است. در طراحی سدها، آسیب‌پذیری بدنه بیشتر ناشی از ایجاد کشش در بتن غیرمسلح است و غالباً قید مقاومت فشاری بتن کنترل کننده نیست.<sup>[۱]</sup> از طرفی پژوهش‌ها نشان می‌دهند که مقاومت کششی عضو بتني متأثر از اندازه نمونه است. به طوری که معمولاً با افزایش اندازه، مقاومت آن کاهش می‌یابد. لذا این موضوع می‌تواند در طراحی سدهای بتني با ابعاد مقاطعی به مرتب بزرگ تراز نمونه‌های آزمایشگاهی، نمود بیشتری پیدا کند. در مدل تحلیل غیرخطی سازه‌ی بتني بر مبنای مکانیک شکست که خوبی مصالح توسط معيار انرژی تعیین می‌شود، اثر اندازه مقطع لحاظ می‌شود.<sup>[۲]</sup> در صورت استفاده از تحلیل خطی، یکی از ساده‌ترین راه‌های وارد کردن مکانیک شکست در طراحی‌ها، از طریق اعمال اثر اندازه مقطع در تنش مجازاً یا مقاومت طراحی است.<sup>[۲]</sup> باید توجه کرد که اثر اندازه به نوع آزمایش و نزد بارگذاری نیز بستگی دارد. یعنی برای مقاومت کششی مستقیم، مقاومت خشمی (مدول گسیختگی  $f'_r$ ) و شکافت<sup>۱</sup> و نیز بارگذاری استاتیکی و دینامیکی متفاوت است.<sup>[۲]</sup>

$$\sigma_N(d) = \frac{B f'_t}{(1 + \frac{d}{\lambda \cdot d_a})^{1/2}} + \alpha f'_t \quad (2)$$

\* نویسنده مسئول  
تاریخ: دریافت ۲۸ مهر ۱۳۹۵، اصلاحیه ۳/۷، پذیرش ۱۲ مهر ۱۳۹۶  
DOI:10.24200/J30.2018.1899.2001

در طراحی سدها به عنوان سازه‌هایی با مقاطع بتی بزرگ، تاکنون مطالعات کاربردی مشخصی برای اعمال اثر اندازه در مقاومت کششی - تحت تحلیل‌های خطی - مشاهده نشده است. در طراحی‌های سنتی اغلب و در جهت اطمینان، از مقادیر مقاومت کششی صفر<sup>۷</sup> یا مقدار اندک استفاده شده است. لذا در پژوهش حاضر با تنظیم جزئیات رابطه اثر اندازه‌ی دانگار<sup>[۲۱]</sup> متناسب با سرعت‌های بارگذاری استاتیکی و دینامیکی، اثر اندازه‌ی مقطع در مقاومت کششی بتن در طراحی شکل سد قوسی بررسی شده است. برای طراحی‌ها، یک برنامه‌ی بهینه‌سازی شکل سد بتی قوسی بازنویسی و استفاده شده است. در برنامه‌ی بهینه‌سازی، شکل سد براساس کمینه‌ساختن حجم بدنه، ضمن ارضاء قیود تشنجی، هندسی و پایداری حاصل می‌شود. هدف استفاده از برنامه‌ی بهینه‌سازی، ارائه گزینه‌های مختلف شکل بهینه‌ی اولیه برای انجام تحلیل‌های دقیق تر و تحت ترکیب‌های بارگذاری مختلف است. بدینهی است در این صورت الگوی توزیع تنش و در نتیجه شکل بدنه‌ی سد، ولو اندکی تغیر یابد.

## ۲. رابطه‌ی جامع مقاومت کششی برای طراحی مقاطع بزرگ

دانگار و همکاران در سال ۱۹۹۲<sup>[۲۲]</sup> برای درنظر گرفتن اثر اندازه‌ی مقطع و نیز نوع و نزخ بارگذاری، SEL را به این صورت بازنویسی کردند:

### ۱.۱ اثر اندازه‌ی مقطع

اگر قانون اثر اندازه‌ی بازانت برای یک نمونه با طول مشخصه‌ی  $d$  به صورت رابطه‌ی ۶ نوشته شود:

$$f'_a = \frac{B_a f'_t}{(1 + \frac{d}{\lambda \cdot d_a})^{1/2}} \quad (6)$$

که در آن،  $f'_t$  مقاومت کششی مستقیم نمونه است و از تقسیم بار گسیختگی بر حاصل ضرب بعد مشخصه و عرض نمونه به دست می‌آید؛  $f'_a$  نیز مقدار مقاومت کششی ظاهری را در دیاگرام تنش کرنش تعیین می‌کند و وابسته به نوع آزمایش مشخص می‌شود. زیرا در شرایطی که از یک تحلیل کشسان خطی استفاده شود، لازم است تابع مقاومت غیرخطی آزمایشگاهی نیز با اعمال یک ضریب افزایشی به صورت تنش خطی متانظر ارزیابی شود. لذا،  $B_a$  حاصل ضرب یک عدد ثابت وابسته به نوع آزمایش در پارامتر  $B$  است. همچنین ایشان<sup>[۲۳]</sup> برای درنظر گرفتن اثر سرعت بارگذاری با فرض اینکه  $d_a/d$  متناسب است با نسبت طول مؤثر ناحیه‌ی صدمه‌دیده‌ی نوک ترک ( $c_f$ ) به بعد مشخصه‌ی  $d$  و با استفاده از رابطه‌ی ۷، به معادله‌ی ۸ دست یافته‌دند:

$$c_f = c_0 \left( \frac{t_p}{t} \right)^{0.22} \quad (7)$$

که در آن،  $t$  زمان تنش بیشینه،  $c_0$  طول مؤثر ناحیه‌ی صدمه‌دیده در زمان تنش بیشینه‌ی  $t$  که مطابق با نزخ بارگذاری‌های معمول آزمایشگاهی در نظر گرفته می‌شود. درنتیجه رابطه‌ی ۸ به دست می‌آید:

$$f'_a = \frac{B_a}{(1 + \left( \frac{t_p}{t} \right)^{0.22} \frac{d}{\lambda \cdot d_a})^{1/2}} \cdot f'_t = k_t \cdot f'_t \quad (8)$$

که در آن،  $k_t$  پارامتری ثابت و مربوط به مقاومت مستقل از اندازه در معادله است. در مورد بتن حجیم نیز نتایج آزمایش‌ها بر روی نمونه‌های هندسی مشابه، مطابقت خوبی با رابطه‌ی SEL نشان داده است.<sup>[۱۵]</sup> در سال ۲۰۱۳، نیز با انجام یک مجموعه آزمایش‌های جامع بر روی تیرهای شیاردار و بدون شیار، وضعیت اثر اندازه در مواردی که اندازه‌ی ترک در گسیختگی نه خیلی ناچیز و نه بزرگ است، قابل تعیین دانسته شد.<sup>[۱۶]</sup> و سپس قانون جامع اثر اندازه و شکل جدید USEL<sup>[۴]</sup> با انجام آزمایش‌های شکست جامع (۲۰۱۴)<sup>[۱۷]</sup> پیشنهاد شد.<sup>[۱۸]</sup>

قانون جامع اثر اندازه به گونه‌یی است که واپستگی مقاومت اسمی نمونه یا سازه را هم به اندازه و هم به طول ترک اولیه در کل محدوده‌ی مورد نظر توصیف می‌کند و بازش خوبی با داده‌های جامع فقط با ضریب تغییرات ۲/۳٪ نشان داده است. معادله‌ی مذکور بسیار گسترده و شامل پارامترهای متعددی است که شرح آن‌ها در مجال پژوهش حاضر نمی‌گنجد. داده‌های آزمایش‌های اخیر نشان داد که قانون جامع پیشین (۲۰۰۹)<sup>[۱۹]</sup> که فقط به صورت تئوری استخراج شده بود، دقت کافی نداشته است.<sup>[۱۵]</sup> همچنین در سال ۲۰۱۵، یک مجموعه داده که حاصل وسیع ترین آزمایش‌های اثر اندازه در بتن غیر مسلح تاکنون است (نمونه‌هایی با نسبت ابعاد ۱/۶، ۱/۷ و ۱/۸ برای بکدیگر برای آزمایش‌های خمیش و ۱/۶، ۱/۷ و ۱/۸ برای بکدیگر برای آزمایش شکافت) ارائه شد که یک منبع داده‌آل برای توسعه و اعتبارسنجی مدل‌های پیشین است.<sup>[۱۶]</sup>

نوع بارگذاری نیز در مقدار مقاومت کششی بتن غیر مسلح مؤثر است و نتایج حاصل از آزمایش‌های کشش مستقیم، مدول گسیختگی و یا آزمایش شکافت متفاوت هستند.<sup>[۱۷]</sup> همچنین در پژوهشی در سال ۱۹۸۴، با استناد بر نتایج آزمایش‌های متعددی به هر سه روش مذکور (رابطه‌ی ۳)، مقاومت کششی استاتیکی بتن براساس مقدار مقاومت فشاری بتن ( $f_c$ ) پیشنهاد شد:<sup>[۱۸]</sup>

$$f_t = 0.324 f_c^{1/3} \quad (3)$$

در سال ۲۰۰۷، نیز مدول گسیختگی بتن ( $f_r^t$ ) مساوی با ۱/۳۶ برابر مقدار مقاومت کششی مستقیم ( $f'_t$ ) پیشنهاد شد.<sup>[۱۹]</sup> در نتیجه مقاومت کششی خمیشی به صورت معادله‌ی ۴ است:

$$f_t = 0.44 f_r^{1/3} \quad (4)$$

از سویی افزایش سرعت بارگذاری، افزایش مقاومت بتن را در پی دارد. آزمایش‌های محدودی که روی بتن‌های حجیم صورت گرفته است، مانند آزمایش‌های سائوما<sup>۵</sup> نشان داد که اثر سرعت بارگذاری در مقاومت در این مورد بیشتر از بتن معمولی است.<sup>[۱۹]</sup> رافائل با آزمایش‌هایی ضریب افزاینده‌ی ۱/۵<sup>[۱۹]</sup> و برخی دیگر از پژوهشگران،<sup>[۲۰، ۲۱]</sup> ضریب ۱/۸ را برای محاسبه‌ی مقاومت کششی تحت بار دینامیکی ارائه کردند. البته با مظور کردن آثار کاهنده‌ی محصور شدگی بتن و تاریخچه‌ی بارگذاری زلزله تحت کشش و فشار متناوب، استفاده از ضریب ۱/۵ معقول تر است.<sup>[۱۹]</sup> لذا رابطه‌ی مقاومت کششی رافائل در حالت دینامیکی به شکل رابطه‌ی ۵ است:

$$f_t = 0.66 f_r^{1/3} \quad (5)$$

در واقع روابط ۴ و ۵ که رافائل ارائه کرده است، اثر نوع و نزخ بارگذاری را - البته بدون توجه به اثر اندازه‌ی مقطع - در نظر می‌گیرند. برخی دیگر از پژوهشگران<sup>(۱۹۹۲)</sup> نیز بیان داشتند که اثر اندازه‌ی المان سازه‌ی سد (قوس یا طره) در مقاومت کششی ظاهری<sup>۹</sup> ( $f'_a$ )، نیاز به وارد کردن اثر نزخ بارگذاری و سناریوی شکست متناسب، در معیار ارزیابی شکست دارد. لذا قانون اثر اندازه‌ی بازانت را بازنویسی کردند.<sup>[۲۲]</sup>

که در آن،  $k_t$  نسبت مقاومت کششی ظاهری به مقاومت کششی واقعی نامیده می شود. البته اینسان،<sup>[۲۲]</sup> اذعان دارند از آنجایی که شواهد تجربی به اندازه های کوچک محدود است، لذا بروی باسی از اندازه های آزمایشگاهی به ابعاد واقعی سد، حساسیت جدی دارد. لذا زمانی که هر نوع شکی در مرور صحبت تحلیل خطی وجود دارد، یک تحلیل غیرخطی با استفاده از مدل مناسب ساختاری برای بتن پیشنهاد می شود. در این صورت دیگر مقاومت ظاهری نیاز نیست، زیرا مدل ساختاری غیرخطی جایگزین فرض کشسان شده است.<sup>[۲۲]</sup> مقدار مقاومت کششی مستقیم بتن  $f_c'$  با استفاده از میانگین روابط در آین نامه های ۹R، ACI<sup>۲۰</sup><sup>[۱۷]</sup> و CEB-FIP<sup>[۲۳]</sup> بر حسب مقاومت فشاری ۳۵ مگاپاسکال رایج در طراحی سدها برای با  $2/7$  مگاپاسکال به دست آمد.<sup>[۲۴]</sup>

## ۲.۲. اثر نوع بارگذاری

مقادیر پارامترهای  $B_a$  و  $\lambda$  بینگر نوع بارگذاری است. دانگار و همکاران<sup>[۲۵]</sup> با ارزیابی رابطه ای  $\lambda$ ، ثابت های  $B_a$  و  $\lambda$  را برای چند نوع آزمایش مقاومت کششی به دست آورند. آنها معتقد بودند که در بیشتر موارد، آزمایش خمش معرف ستابریو شکست موضعی در سدهای قوسی، شامل خمش طره و قوس است. لذا طبق آزمایش های انجام شده دانگار، برای بتن با مقاومت فشاری تکمحوری  $f_c'$  ۳۵ مگاپاسکال و تحت آزمایش خمش نقطی میانی<sup>۸</sup>، مقادیر  $B_a$  و  $\lambda$  به ترتیب  $2/۰$  و  $4/۰$  بیان شده است.<sup>[۲۶]</sup>

## ۳.۱. اثر زمان بارگذاری

زمان بارگذاری بیشینه برای بارگذاری وزن  $t_{p1}$  ۶ ماه، بارگذاری فشار هیدرولاستاتیک عادی  $t_{p2}$  ۴ ماه، بار زلزله  $t_{p3}$  ۱/۰ ثانیه و زمان معمول بارگذاری های آزمایشگاه  $t_c$  حدوداً  $۵/۰$  ۰ ثانیه و بیشینه اندازه سنگدانه  $d_a$  ۱۲ سانتی متر در نظر گرفته شد. عملأ در بارگذاری استاتیکی، اثر زمان قابل توجه نیست و مقاومت به مقادیر ثابتی میل می کند. لذا می توان گفت اثر سرعت بارگذاری فقط در تحلیل دینامیکی مشاهده شده است.

## ۳. کاربرد روش در طرح سدهای قوسی

از آنجایی که سدها، سازه های گرانی هستند و اهمیت صرفه جویی در حجم آنها قابل توجه است، لذا همواره طرح بیشینه سدها مورد توجه طراحان بوده است. از سویی، سدهای قوسی به عملت هندسه ای خاص خود، حجم بدنی کمتر و در نتیجه طرح اقتصادی تری نسبت به سدهای وزنی دارند. به همین جهت، در پژوهش حاضر، برای طراحی سدها با توجه به روابط مقاومت مورد نظر، از برنامه های بیشینه سازی شکل سدهای بتنی قوسی به نام CADSO<sup>[۱۶]</sup> استفاده شده است. در موارد مرتبط با اعمال پارامترهای مورد نظر در معیار مقاومت، برنامه های CADSO بازنویسی شده است.

## ۴. معرفی برنامه های CADSO

برنامه های بیشینه سازی شکل سد قوسی CADSO، در سال ۲۰۰۸<sup>[۱۶]</sup> به زبان برنامه نویسی فرترن نهیه شده است. برنامه های CADSO، روشی جدید برای طراحی شکل سدهای قوسی براساس الگوی سهموی با انتخاب رویه های سراب به عنوان هادی سهمی - قسمت میانی قوس با ضخامت ثابت و قسمت های راست و چپ با

## ۲.۳. جزئیات اعمال اثر اندازه هی مقطع در مقاومت کششی

در پژوهش حاضر، طراحی سد براساس بیشینه سازی شکل، تحت بارگذاری وزن بدنی سد، فشار آب و زلزله با درنظر گرفتن اثر اندازه در مقاومت کششی بتن مدنظر است. لذا به جای استفاده از قیود تنش کششی ثابت  $5/۰$  مگاپاسکال در حالت کلاسیک برنامه، امکان استفاده از قیدهای تنش و استه به اندازه، نوع و نز بارگذاری مطابق رابطه  $8$  ایجاد شده است. در ابتدای اجرای برنامه، این امکان برای کاربر قرار داده شده است که برنامه را در حالت اولیه یا با اعمال اثر اندازه در مقاومت اجرا کند. قیود تنشی در برنامه های CADSO، تنش های تک محوری المان های رویه های سراب و پایاب بدنی سد را در دو حالت بارگذاری استاتیکی و دینامیکی کنترل می کنند. قیود

(OBD) با PGA برابر با  $9/3^{\circ}$  و با میرایی ۵٪ مطابق شکل ۱ در تحلیل‌ها استفاده شده است.<sup>[۱]</sup> در این سطح از بارگذاری لرزه‌یی، تحلیل خطی اعتبار دارد. قیود هندسی به کار رفته در برنامه، محدودیت‌های اجرایی را مدنظر قرار داده‌اند و از طرح‌های خیالی جلوگیری می‌کنند. برخی از قیود هندسی مذکور عبارت‌اند از: کمیته‌یی ضخامت طریق مرکزی در تاج  $6/5\text{ m}$ , بیشینه‌یی ضخامت بدنی سد از ارتفاع‌های میانی  $H = 2/5\text{ m}$ , بیشینه‌یی زاویه‌یی شیب مماس بر منحنی بالا درست طریق مرکزی در تاج و منحنی پایین دست طریق مرکزی در تاج و کف<sup>۲۰</sup>, بیشینه‌یی مقدار برآمدگی افقی رویه‌ی سراب نسبت به پاشنه‌ی سد  $6\text{ m}$ . همچنین باید کمیته‌یی زاویه‌یی برخورد منحنی نقاط شروع ضخامت متغیر در راستای ارتفاع سد، در سمت راست و چپ با قوس‌های افقی در تاج و کف، بین  $75^{\circ}$  تا  $25^{\circ}$  درجه باشد تا پروفیل طریق در ترازهای مختلف دچار شکستگی نشود.

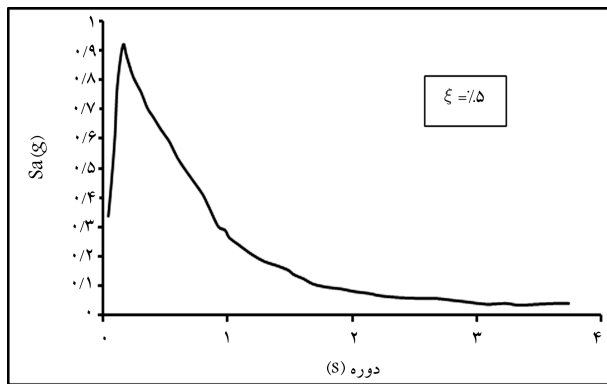
البته باید توجه کرد که برخی مؤلفه‌های مدل‌سازی در CADSO با موارد نظریشان در طرح اصلی تفاوت دارند، که تا حدی از حساسیت مقایسه‌ی آثار روابط مقاومتی پیشنهادی با طراحی اصلی سد موردنظر می‌کاهند. تقاضت در مدل‌های هندسی، نحوه‌ی المان‌بندی و شرایط بارگذاری، فرض مدول کشسانی ثابت برای تمام نواحی تکیه‌گاه‌ها، توپوگرافی یکنواخت در طول دره، و نیز مدل پی بدون جرم، استفاده از مدل تقریبی جرم افزوده برای اندرکنش مخزن و سد و به کارگیری تحلیل دینامیکی طیفی در برنامه‌ی بهینه‌سازی CADSO از جمله‌ی آن موارد هستند.

نکته‌ی مهم در موقعيت بهینه‌سازی شکل سدها، لزوم تخمین مناسب و تا حدی متکی بر شناخت از مهندسی سد در حدس اولیه است. بدليل حساسیت زیاد برخی از متغیرهای طراحی، نتایج برنامه تا حدی به مقادیر حدس اولیه و رودی وابسته است. در صورتی که در پایان بهینه‌سازی، نقض برخی از قیود مشاهده شود، باید پس از بررسی با تغییر مقادیر حدس اولیه و ندرتاً با تغییر مشخصه‌های مرتبط طرح برای رفع آن‌ها در اجرای مجدد برنامه اقدام کرد.

#### ۱.۴. سد شهید رجائی

سد پیشی قوسی شهید رجائی به ارتفاع  $130\text{ m}$  بر روی خانه‌ی تجن در استان مازندران و در دره‌یی نسبتاً عریض قرار دارد (شکل ۲).<sup>[۱]</sup> شکل ۳، نمایی از شبکه‌ی اجراء محدود بدنی سد رجایی با  $4\text{ la}\text{y}$  المان سه‌بعدی حاصل از طراحی تحت رابطه مقاومت دانگار است.

مقادیر حجم بدن و ضربیت رعنایی سد در حالت‌های مختلف طراحی تحت بارگذاری دینامیکی در جدول ۳ ارائه شده است. مشاهده می‌شود که طراحی براساس رابطه‌ی دانگار، بیشترین مقدار حجم بدن را نتیجه می‌دهد و ۱۲٪ نسبت به طرح



شکل ۱. طیف پاسخ شبیه شتاب مؤلفه‌ی طولی زلزله OBE با میرایی ۵٪.<sup>[۱]</sup>

تشیی از تقسیم مقادیر مقاومت حاصل از رابطه‌ی ۸، بر ضربیت اطمینان مناسب با هر حالت بارگذاری مطابق جدول ۱ بددست می‌آیند. درنهایت، در هر سعی و خطأ، ماتریس جدید قیدهای تشیی برای استفاده در فرایند بهینه‌سازی ایجاد می‌شود.

یادآوری می‌شود که ضخامت هر نقطه از بدنی سد نیز در هر دور بهینه‌سازی تغییر می‌کند. لذا در قید مقاومت نیز تأثیر مذکور در نظر گرفته می‌شود و مقدار قید در هر مرحله از بهینه‌سازی مناسب با شکل جدید بدن تغییر می‌کند. این فرایند در حالتی دیگر با استفاده از رابطه‌ی مقاومت کششی استاتیکی و دینامیکی رافائل (روابط ۴ و ۵)، به عنوان قید تشیی با همان ضربیت اطمینان جدول ۱ استفاده شد. روابط مقاومت رافائل در واقع خود متأثر از اثر نوع و نیز بارگذاری ولی بدون در نظر گرفتن اثر اندازه‌ی مقطع هستند. لذا در پژوهش حاضر با توجه به قیدهای تشیی در مجموع ۳ حالت طراحی مقاومت شد: ۱. درنظر گرفتن اثر اندازه‌ی مقطع و نوع و سرعت بارگذاری در مقاومت مطابق با رابطه‌ی ۸ دانگار؛ ۲. درنظر گرفتن اثر نوع و سرعت بارگذاری، ولی بدون اثر اندازه‌ی مقطع در مقاومت مطابق با روابط ۴ و ۵ رافائل؛ ۳. مقدار مقاومت کششی کلاسیک  $5/0\text{ m}^3/\text{Pa}$ .

برنامه طوری تنظیم شد که در حالت استفاده از رابطه‌ی دانگار و طبق توصیه‌ی ایشان،<sup>[۲۲]</sup> کمیته‌یی مقدار مقاومت مانند طراحی‌های سنتی، برای  $5/0\text{ m}^3/\text{Pa}$  مکاپاسکال باشد. از آنجایی که عوامل مذکور در رابطه‌ی MSEL اعمال و متعاقباً مقادیر ثابت آن توسط مطالعات آزمایشگاهی تعیین نشده است، اکنون امکان استفاده از رابطه‌ی مذکور وجود ندارد.

#### ۴. مطالعات موردي

جهت بررسی تأثیر روابط مقاومت کششی پیشنهادی در طراحی سدها، طراحی براساس بهینه‌سازی شکل سد تحت سه بارگذاری وزن بدنی سد، فشار آب، و زلزله با استفاده از مشخصات سد بتی قوسی شهید رجائی انجام و نتایج آن با طرح اصلی سد مذکور مقایسه شده است. در طراحی‌های انجام شده، ویژگی مصالح بدنی سد و پی آن به صورت مندرج در جدول ۲، فرض شده است.

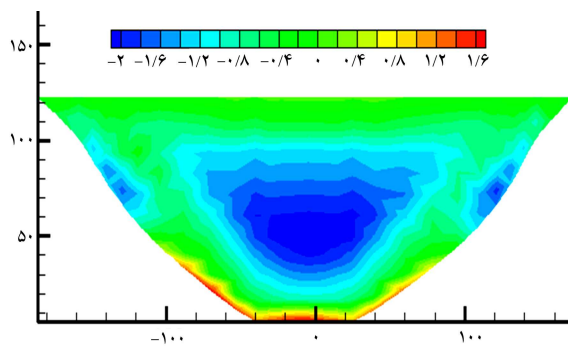
طیف شبیه شتاب بدون بعد برای مؤلفه‌ی طولی زلزله مبنای بهره‌برداری

جدول ۱. انواع بارگذاری و ضربیت اطمینان منتظر.

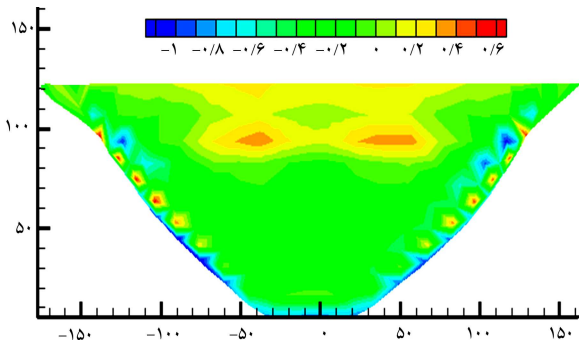
حالات بارگذاری	ضریب اطمینان کششی	شرح
استاتیکی	۱ - بار وزن + بار فشار آب	۲
دینامیکی	۲ - بار وزن + بار فشار آب + زلزله	۱

جدول ۲. مشخصات مصالح در تحلیل المان محدود.

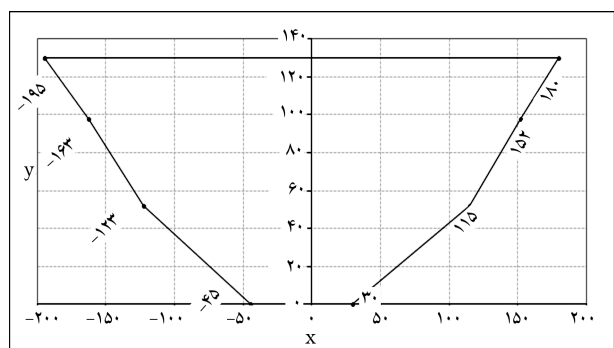
ویژگی مصالح	نماد	مقدار
ضریب چسبندگی بتن	$c_c$	$6(\text{MPa})$
ضریب چسبندگی سنگ پی	$c_r$	$1(\text{MPa})$
زاویه اصطکاک داخلی بتن	$\varphi_c$	$57(^{\circ}\text{C})$
زاویه اصطکاک داخلی سنگ پی	$\varphi_r$	$35(^{\circ}\text{C})$
مقاومت فشاری تک محوری بتن	$f_c$	$35(\text{MPa})$
مدول ارتجاعی استاتیکی بتن	$E_c$	$22(\text{GPa})$
مدول ارتجاعی استاتیکی سنگ پی	$E_r$	$8(\text{GPa})$
ضریب پواسون بتن	$v_c$	$0/18$
ضریب پواسون سنگ پی	$v_r$	$0/25$



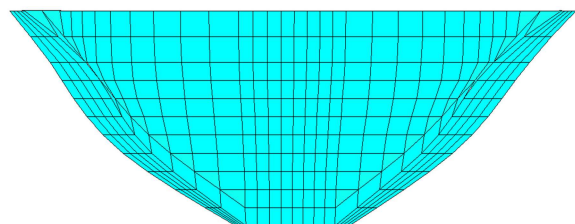
شکل ۴. کانتور تنش اصلی  $\sigma_1$  در رویه‌ی سراب سد رجائی در طرح مقاومت دانگار.



شکل ۵. کانتور تنش اصلی  $\sigma_1$  در رویه‌ی پایاب سد رجائی در طرح مقاومت دانگار.



شکل ۶. مشخصات هندسی دره‌ی سد رجائی (m).<sup>[۱]</sup>



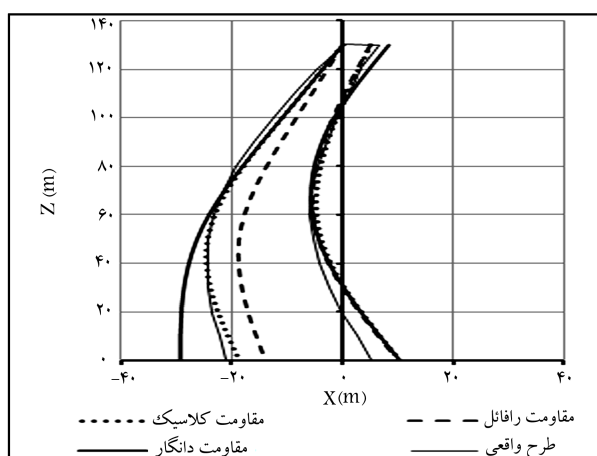
شکل ۳. سیمای شبکه‌ی اجزاء محدود بدنه‌ی سد رجائی با ۴ لایه‌ی المان سه بعدی.

جدول ۳. حجم بدنه و ضریب رعنایی سد در حالت‌های مختلف طراحی تحت بارگذاری دینامیکی.

حال طرح براساس مقاومت کششی	حجم بدنه‌ی سد (مترمکعب)	ضریب به طرح واقعی (%)	درصد اختلاف نسبت به طرح واقعی (%)	حجم بدنه‌ی سد
رابطه‌ی دانگار	۶۱۷۷۹۹	+۱/۲	۱۶,۳	
رابطه‌ی رافائل	۴۳۳۷۳۵	-۲۹	۲۵,۷	
رابطه‌ی کلاسیک	۵۷۲۲۰۴	-۶,۳	۱۸,۱	
طرح واقعی	۶۱۰۶۶۲	۰	۱۵,۱	

اصلی افزایش دارد. کمترین حجم مربوط به طرح مقاومت رافائل با ۲۹٪ کاهش نسبت به طرح واقعی است؛ زیرا عمدتاً اثر اندازه‌ی مقطع، که عامل افزایش حجم است، در آن لحاظ نشده است. طرح مقاومت کلاسیک، که به نوعی حالت بهینه‌شده‌ی طرح اصلی است و اثر اندازه و سرعت بارگذاری در آن لحاظ نشده است، حجمی کمتر از طرح اصلی (۶,۳٪ کاهش) دارد. با توجه به جدول ۳، تفاوت مقدار حجم بدنه در طرح دانگار و طرح کلاسیک حدود ۸٪ است. ضریب رعنایی  $C_s$  که به نوعی بیانگر قابلیت تحمل سازه در برابر بار است، به صورت  $F^*/(V.H)$  تعریف می‌شود که در آن  $F$  مساحت لایه‌ی میانی سد،  $V$  حجم بدنه‌ی سد، و  $H$  ارتفاع سد است. برای داشتن یک طرح این، بیشینه‌ی مقدار این  $C_s$  با توجه به ارتفاع سدها مشخص می‌شود. برای سد رجائی به ارتفاع  $130$  متر، مقدار  $C_s$  باید حدوداً کمتر از  $18/5$  باشد.<sup>[۱]</sup> لذا طبق جدول ۳، طرح مقاومت رافائل با درنظر گرفتن مقاومتی دست بالا و حجمی کم، طرحی کم این نسبت به طرح‌های مقاومت دانگار و مقاومت کلاسیک را نتیجه می‌دهد.

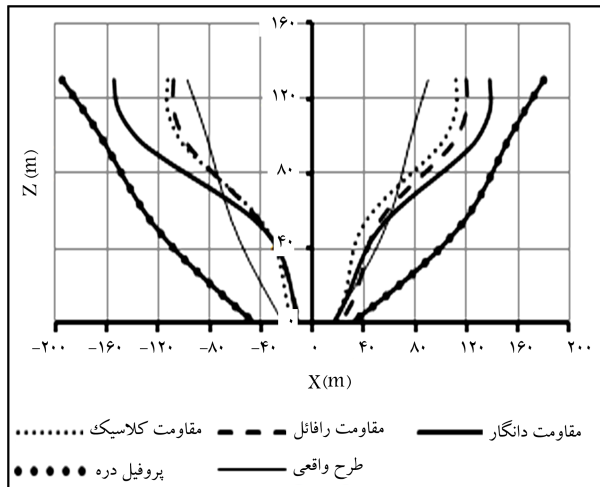
با توجه به کنتورهای تنش اصلی ( $\sigma_1$ ) در بالادست و پایین دست بدنه سد رجائی در طرح مقاومت دانگار مطابق شکل‌های ۴ و ۵، نقاط تمرکز تنش کششی در نواحی نزدیک به بی در رویه‌ی سراب و در نواحی نزدیک به تکیه‌گاه در رویه‌ی پایاب قابل توجه است و مشاهده می‌شود که در نواحی نزدیک به تکیه‌گاه در نواحی مذکور، مقاطع ضخامتی بیشتر از سایر طرح‌ها دارند.



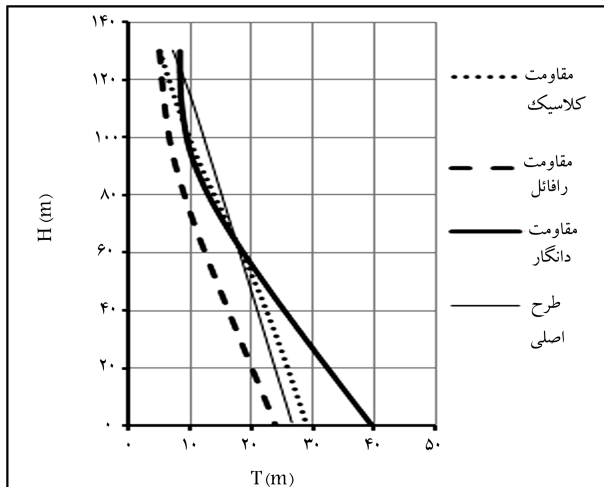
شکل ۶. شکل طریق مرکزی در طرح‌های مختلف سد رجائی تحت بارگذاری دینامیکی.

متغیرهای طراحی حاصل از بهینه‌سازی CADSO به ترتیب عبارت‌اند از: برآمدگی پروفیل بالادست طریق مرکزی، ضخامت طریق مرکزی، شعاع انحنای رأس شهری مرکزی، ضخامت قوس در تکیه‌گاه راست، ضخامت قوس در تکیه‌گاه چپ، و نسبت طولی محل شروع ضخامت متغیر قوس‌ها در سمت راست و چپ در ترازهای طراحی مرجع<sup>[۲۲]</sup> در ادامه، تغییرات برخی از پارامترهای مذکور با ارائه‌ی شکل بررسی شده است.

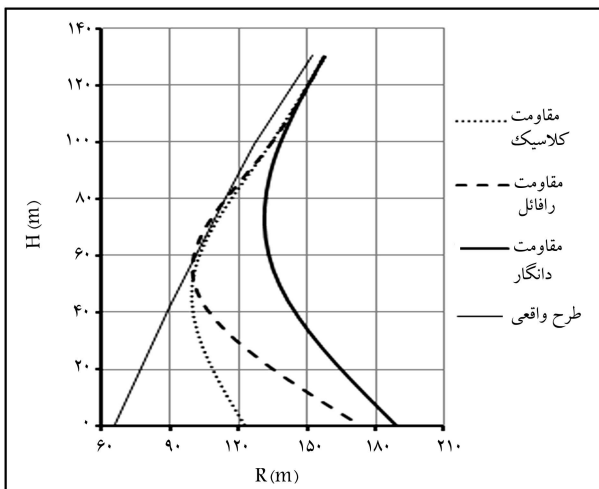
در شکل ۶، پروفیل طریق مرکزی حاصل از طراحی‌های مقاومت مقایسه شده است. مشاهده می‌شود که طرح مقاومت دانگار بیشترین ضخامت طریق مرکزی را در سرتاسر ارتفاع دارد. این طرح نسبت به روش کلاسیک در نواحی نزدیک به تراز



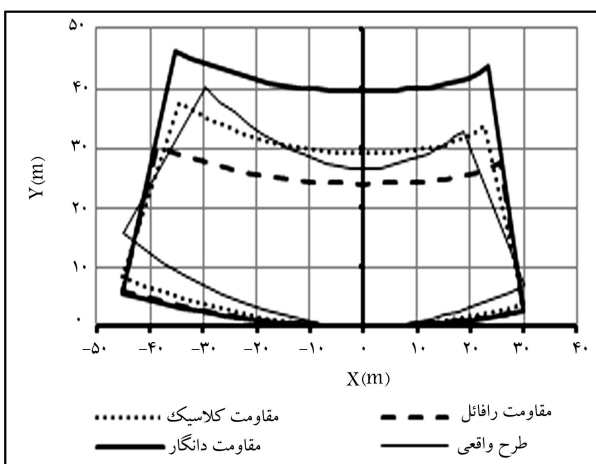
شکل ۸. موقعیت نقاط شروع ضخامت متغیر قوس‌ها در طرح‌های مختلف سد رجائی تحت بارگذاری دینامیکی.



شکل ۷. پروفیل ضخامت مرکزی قوس T در طرح‌های مختلف سد رجائی تحت بارگذاری دینامیکی.



شکل ۹. تغییرات شعاع انحنای رأس سهمی سراب با ارتفاع H در طرح‌های مختلف سد رجائی تحت بارگذاری دینامیکی.



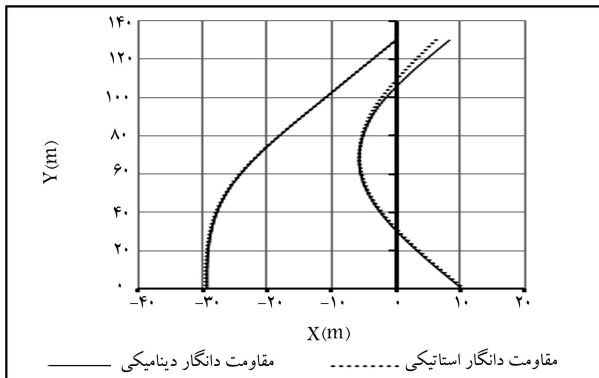
شکل ۱۰. شکل قوس افقی در تراز کف در طرح‌های مختلف سد رجائی تحت بارگذاری دینامیکی.

کف تحت بارگذاری دینامیکی حدود ۳۶٪ افزایش دارد. به نظر می‌رسد اختلاف مذکور ضخامت ناشی از تمرکز تنفس کششی در نواحی نزدیک به پی سد است که در شکل کنترن تنفس (شکل ۴) مشخص است. در نظرگرفتن اثر سرعت بارگذاری، در طرح مقاومت رافائل کمترین ضخامت را تیجه داده است. برآمدگی سراب نسبت به پاشنه در طرح مقاومت دانگار برخلاف سایر طرح‌ها مشاهده نمی‌شود. شبیه‌رویی سراب در تراز تاج در همه‌ی طرح‌ها به جز طرح مقاومت رافائل، تقریباً یکسان است. منظور از شبیه‌رویی، زاویه‌ی بین مماس بر سطح آن و محور قائم است.

در شکل ۷، تغییرات ضخامت طره‌ی مرکزی در برابر ارتفاع مشاهده می‌شود. علی‌رغم اینکه طرح اصلی، افزایش ضخامت یکنواختی را تجربه می‌کند، طرح بهینه‌شده‌ی مقاومت دانگار افزایش ضخامت را در نواحی فوقانی ضروری نمی‌داند و افزایش ضخامت در ترازهای ارتفاعی پایینی محسوس نیست. در نزدیکی تراز پی در طرح مقاومت دانگار اختلاف ضخامت قابل توجهی نمودار است. طرح مقاومت رافائل همواره کمترین ضخامت طره‌ی مرکزی را در کل ارتفاع دارد. همانطور که قبل بیان شد، ضخامت قوس‌های افقی در ناحیه‌ی میانی ثابت بوده، اما در طرفین متغیر است. نقطه‌ی شروع تغییر ضخامت مذکور در طول قوس نیز یکی از مؤلفه‌های طراحی است.

در شکل ۸، مکان هندسی محل آغاز تغییر ضخامت در جوانب بدنه برای تمام ارتفاع سد، در طرح‌های مختلف و طرح اصلی مشاهده می‌شود که مطابق آن در طرح اصلی سد، این نسبت در کل ارتفاع برابر با ثابت ۵٪ است. اما بهینه‌سازی ضمن کنترل قیود موردنظر، الگوی مذکور را الزاماً نشان نمی‌دهد و در ارتفاع‌های بالا منجر به صرفه‌جویی در حجم بتن ریزی می‌شود. در طرح مقاومت دانگار، تغییر ضخامت در بخش کوچک‌تری از طول قوس نسبت به سایر طرح‌ها اتفاق می‌افتد. با توجه به شکل ۹، اختلاف مقادیر شعاع انحنای رأس سهمی سراب، بیشتر در نواحی نزدیک به پی مشاهده می‌شود. در طرح اصلی، شعاع انحنای رأس سهمی سراب، پیوسته در حال افزایش است اما روند بهینه‌سازی الزاماً افزایش شعاع انحنای در کل ارتفاع سد را نشان نمی‌دهد و کمترین شعاع انحنای را در ترازهای میانی در نظر می‌گیرد. برنامه‌ی بهینه‌سازی بهویله در طرح مقاومت دانگار، مقادیر انحنای قوس کمتری در تراز کف نسبت به طرح اصلی در نظر می‌گیرد.

در شکل‌های ۱۰ الی ۱۳، شکل قوس‌های افقی در ۴ تراز طراحی مرجع

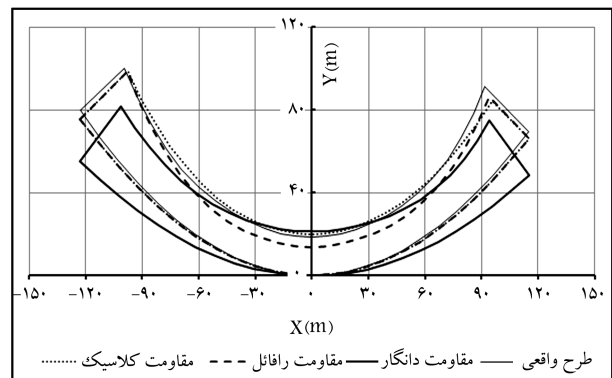


شکل ۱۴. مقایسه‌ی شکل طریقی مرکزی برای بارگذاری‌های استاتیکی و دینامیکی با اعمال مقاومت دانگار در سد رجائی.

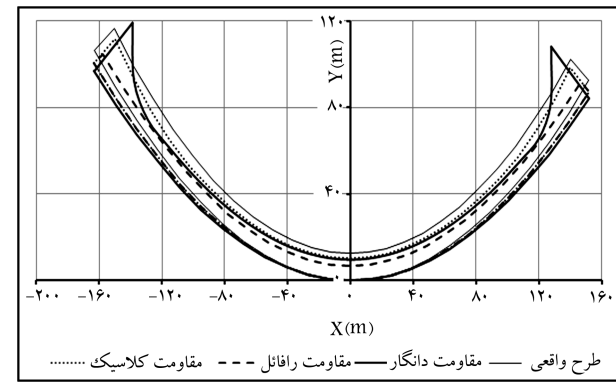
تشی است که در قسمت نزدیک به تکیه‌گاه قوس‌ها در نواحی میانی و بالای ارتفاع در شکل‌های ۴ و ۵ مشاهده می‌شود، زیرا در مقاومت دانگار ارتباط میان مقاومت و اندازه‌ی مقطع در نظر گرفته شده است. در شکل ۱۳، با توجه عدم تمرکز تنش کششی در مجاورت تاج، اختلاف چشمگیری در نتایج حالت‌های مختلف طراحی مشاهده نمی‌شود. همچنین در طراحی تحت بارگذاری استاتیکی مشاهده شد که در همه‌ی موارد،تابع هدف یا حجم بدنه در طرح دینامیکی حتی اندکی، همواره بیش از طرح استاتیکی نظیرش بوده است؛ اما در هر دو حالت، الگوی طرح بدنه سد مشابه است.<sup>[۲۴]</sup> به عنوان نمونه با توجه به شکل ۱۴، از مقایسه‌ی نتایج طراحی استاتیکی و دینامیکی در طرح دانگار مشاهده می‌شود که نتایج تفاوت اندکی با یکدیگر دارند، زیرا با توجه به رابطه‌ی مقاومت دانگار، سرعت بارگذاری دینامیکی به عنوان یک عامل افزایش مقاومت عمل می‌کند. بیشترین تفاوت در ارتفاع‌های بالایی و تاج سد مشاهده می‌شود.

## ۵. نتیجه‌گیری

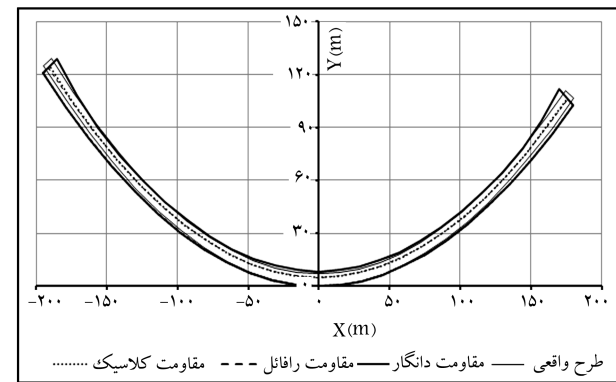
در تحلیل خطی سدهای بتُنی، با اعمال رابطه‌ی اثر اندازه‌ی مقطع در مقاومت کششی به همراه اثر نوع و سرعت بارگذاری (رابطه‌ی دانگار)، می‌توان اینستی سد را به صورت واقع‌بینانه‌تری نسبت به طراحی با تنش مجاز ثابت ارزیابی کرد. روابط مقاومت رافائل نیز اثر نوع و سرعت بارگذاری را بدون اعمال اندازه‌ی مقطع در نظر می‌گیرند. افزایش اثر اندازه، تأثیری کاوهنده در رابطه‌ی دانگار و افزایش سرعت بارگذاری اثر فزاینده در رابطه‌ی رافائل دارند. طراحی‌ها توسط برنامه‌ی بهینه‌سازی شکل سدهای بتُنی قوسی CADSO تحت بارگذاری‌های عادی (استاتیکی) و غیرعادی لرزه‌ی (دینامیکی) او با بازنویسی قبود مقاومت کششی موردنظر انجام شده است. باید توجه کرد که برخی مؤلفه‌های مدل‌سازی در CADSO با موارد نظریه‌شان در طرح اصلی تفاوت داشته‌اند، که تا حدی از استقلال نتایج در مقایسه‌ی آثار روابط مقاومتی پیشنهادی با طراحی اصلی سد مذکور می‌کاوهند. تفاوت در مدل‌های هندسی، نحوه‌ی المان‌بندی و شرایط بارگذاری، فرض مدول کشسانی ثابت برای تمام نواحی تکیه‌گاه‌ها، توپوگرافی یکنواخت در طول دره و نیز مدل بی‌بدون جرم، استفاده از مدل تقریبی جرم افزوده برای اندرکنش مخزن و سد و بهکارگیری تحلیل دینامیکی طیفی در برنامه‌ی بهینه‌سازی CADSO از جمله‌ی آن موارد هستند. با وجود این، مقصود از بهکارگیری برنامه‌ی بهینه‌سازی، در کنار اثر کاوهشی بر حجم بدنه، ارائه‌ی گزینه‌های مختلف شکل بهینه‌ی اولیه برای انجام تحلیل‌های



شکل ۱۱. شکل قوس افقی در تراز میانی  $H = 40$  در طرح‌های مختلف سد رجائی تحت بارگذاری دینامیکی.



شکل ۱۲. شکل قوس افقی در تراز  $H = 75$  در طرح‌های مختلف سد رجائی تحت بارگذاری دینامیکی.



شکل ۱۳. شکل قوس افقی در تراز تاج در طرح‌های مختلف سد رجائی تحت بارگذاری دینامیکی.

برنامه مشاهده می‌شوند. همان‌طور که نتایج پیشین نشان می‌دهد، اتحانه کمتر و ضخامت بیشتر قوس در طرح مقاومت دانگار بهویژه در ترازهای کف و میانی (شکل‌های ۱۰ و ۱۱)، نسبت به سایر طرح‌ها قابل توجه است. همچنین طرح مقاومت رافائل همواره کمترین ضخامت را دارد. شکل ۱۲ نشان می‌دهد که اختلاف زیادی بین ضخامت قوس در تکیه‌گاه در طرح مقاومت دانگار با سایر طرح‌ها وجود دارد. البته با توجه به شکل ۸، افزایش ضخامت قوس‌ها، فقط در بخش کوتاهی از طول قوس مشاهده می‌شود. به نظر می‌رسد که ضخامت ذکرشده، نتیجه‌ی تمرکز

گرفتن سرعت بارگذاری، مقاومت بیشتری را برای بتن در نظر می‌گیرد، اما اثر اندازه که عامل افزایش حجم است در آن لحاظ نشده است. طرح پیش‌فرض CADSO که اثر اندازه و سرعت بارگذاری در آن لحاظ نشده است، نسبت به حالتی که اثر اندازه در آن لحاظ شده است، حجم کمتر و در مقایسه با حالت استفاده از رابطه مقاومت رافائل، حجم بیشتری دارد.

۳. اثر اندازه باعث تفاوت الگوی شکل طریق مرکزی نسبت به سایر طرح‌ها شده است. به عنوان مثال برآمدگی سراب نسبت به پاشنه، عمدهاً حذف می‌شود. این عامل برای شعاع انحنای، مقادیر متفاوت و معمولاً بزرگ‌تری را نسبت به سایر طرح‌ها لحاظ می‌کند.

۴. حجم بدنی در طرح دینامیکی سد (شامل بار زلزله و بار استاتیک) در همه‌ی موارد، بیشتر از طرح استاتیکی نظریش به دست آمده است. هر چند در هر دو حالت، الگوی کالی طرح بدنی سد مشابه است.

دقیق‌تر تحت ترکیب‌های بارگذاری کامل‌تر است. به طور خلاصه اهم نتایج به این شرح است:

۱. نتایج مطالعات برروی سد شهید رجائی نشان می‌دهد که طراحی سد با احتساب اثر اندازه و سرعت بارگذاری در مقاومت، عموماً موجب افزایش ضخامت مقاطع در مناطق تمرکز تنش کششی برویه در مجاورت پیز تغییر الگوی شکل بهینه‌ی رویه سد می‌شود. تفاوت حجم بدنی در طرح دانگار و طرح کلاسیک حدود ۸٪ مشاهده شد. بدین ترتیب نیاز به تغییر بیش در طراحی این شکل بدنی سدهای بتنی نسبت به الگوهای رایج احساس می‌شود.

۲. طراحی بهینه‌ی شکل سد براساس اندازه‌ی مقطع، بیشترین مقدار حجم بدنی را که همان تابع هدف در بهینه‌سازی است، نتیجه می‌دهد. کمترین حجم و نیز دست‌کم قابل قبول، این‌سی بدنی مربوط به مقاومت رافائل است زیرا با درنظر

## پانوشت‌ها

1. splitting(ASTM C46)
2. Bazant
3. size effect law
4. universal size-shape effect law
5. Sauma
6. apparent
7. No tension
8. center-point bending
9. concrete arch dam shape optimization
10. degenerate
11. sequential quadratic programming
12. slenderness coefficient

## منابع (References)

1. Akbari, J. "Shape optimization of concrete arch dams for seismic performance enhancement and abutment stability", PhD Thesis in Civil Engineering-Hydraulic Structures, Tarbiat Modares University, (In Persian) (2008).
2. Vaseghi Amiri, J. "Nonlinear dynamic analysis of tension-shear failure in gravity dams including hydrodynamic interaction due to seismic loads", PhD Thesis in Civil Engineering-Hydraulic Structures, Tarbiat Modares University (1998).
3. Qiang, Y. "Size effect and design safety in concrete structures under shear", Phd Thesis in Civil Engineering, Northwestern University (2007).
4. ICOLD -Bulletin. "The physical properties of hardened conventional concrete in dams", 145- draft for ICOLD Review, Committee on Concrete dams (2008).
5. Bazant, Z.P. "Size effect on structural strength: A review", *Archive of Applied Mechanics*, **69**(9-10), pp. 703-725 (1999).
6. Esfahani, M. "Concrete fracture mechanics", Amirkabir university Press, Tehran (2007).
7. Kim, J.K. and Yi, S.T. "Application of size effect to compressive strength of concrete members", *Journal of Sadhana*, **27**(4), pp. 467-484 (2002).
8. Yi, S.T., Kim, M.S., Kim, K.J. and et al. "Effect of specimen size on flexural compressive strength of reinforced concrete members", *Journal of Cement & Concrete Composites*, **29**(3), pp. 230-240 (2007).
9. Khaloo, A.R., Mohamadishooreh, M.R. and Askari, Sh.M. "Size influence of specimens and maximum aggregate on dam concrete: compressive strength", *Journal of Materials in Civil Engineering*, **21**(8), pp. 349-355 (2009).
10. Carpinteri, A. and Chiaia, B. "Embrittlement and decrease of apparent strength in large-sized concrete structures", *Journal of Sadhana*, **27**(4), pp. 425-448 (2002).
11. Ghaemmaghami, A. and Ghaemian, M. "Specific fracture energy approximation of dam concrete", In 13th World Conference of Earthquake Engineering, Vancouver B.C., Canada, 69 p. (2004).
12. Hoover, C.G. and Bazant, Z.P. "Comprehensive concrete fracture tests: Size effects of types 1 & 2, crack length effect and postpeak", *Journal of Engineering Fracture Mechanics*, **110**, pp. 281-289 (2013).
13. Hoover, C.G. and Bazant, Z.P. "Cohesive crack, size effect, crack band and work-of-fracture models compared to comprehensive concrete fracture tests", *International Journal of Fracture*, **187**(1), pp. 133-143 (2014).
14. Bazant, Z.P. and Yu, Q. "Universal size effect law and effect of crack depth on quasi-brittle structure strength", *Journal of Engineering Mechanics*, **135**(2), pp. 78-84 (2009).
15. Hoover, C.G. and Bazant, Z.P. "Universal size-shape effect law based on comprehensive concrete fracture tests", *Journal of Engineering Mechanics*, **140**(3), pp. 473-479 (2014).

16. Wendner, R., Vorel, J. and Smith, J. "Characterization of concrete failure behavior: a comprehensive experimental database for the calibration and validation of concrete models", *Journal of Materials and Structures*, **48**(11), pp. 3603-3626 (2015).
17. ACI 224.2R-92, "Cracking of concrete materials in direct tension", (1997).
18. Raphael, J.M. "Tensile strength of concrete", *ACI, Title no. 81-17*, **81**(2), pp. 158-165 (1984).
19. Moradloo, J. "Nonlinear dynamic analysis of concrete arch dam considering large displacements", *PhD Thesis in Civil Engineering-Hydraulic Structures*, Tarbiat Modares University (2007).
20. Bruhwiler, E. "Fracture of mass concrete under simulated seismic action", *Journal of Dam Engineering*, **1**(3), pp. 153-176 (1990).
21. Bruhwiler, E. and Wittmann, F.H. "Failure of concrete subjected to seismic loading conditions", *Journal of Engineering Fracture Mechanics*, **35**(1-3), pp. 565-571 (1990).
22. Dungar, R. and Kreuzer, H. "Apparent tensile strength for arch dam design: A review for rate, size and strength dependency", *Journal of Dam Engineering*, **3**(3), pp. 239-246 (1992).
23. CEB-FIP model code, "Comite euro-international du beton", (1990).
24. Jafari, Sh. "Concrete dam design based on actual tensile strengths of large sections", M.Sc. PhD Thesis in Civil Engineering-Hydraulic Structures, Tarbiat Modares University (2014).